

ЕЩЕ РАЗ К ВОПРОСУ О ЦИЛИНДРИЧЕСКОЙ ФОРМЕ ПОТЕРИ УСТОЙЧИВОСТИ УПРУГО-ПЛАСТИЧЕСКИХ ПЛАСТИНОК

Ю. Р. Лепик

(Гарту)

Как известно, в настоящее время имеются две различные концепции о механизме потери устойчивости пластинок и стержней за пределом упругости. В более ранней постановке, связанной с работами Энгессера — Кармана, предполагается, что потеря устойчивости происходит при неизменяемых внешних силах и что зона разгрузки в пластинке возникает сразу, если только критическая нагрузка достигнута. В более поздней постановке, созданной главным образом работами Шенли^[1], Работнова^[2] и Пфлюгера^[3], считается, что за пределом упругости гипотеза о неизменяемости внешних сил при потере устойчивости является необоснованной и что внешние силы могут уже при малых прогибах обладать значениями, несколько превосходящими критические. Из концепции Шенли — Работнова — Пфлюгера следует, что потеря устойчивости происходит при чисто-пластических деформациях; с изгибанием пластинки возникает и зона разгрузки, которая с увеличением прогибов постепенно распространяется по пластинке.

В настоящей работе рассматривается задача о цилиндрической форме потери устойчивости прямоугольной пластинки, достаточно длинной в одном направлении и равномерно сжатой в другом направлении; края пластинки будем считать свободно опертыми. Эта задача в постановке Энгессера — Кармана изучалась в работах А. А. Ильюшина^[4] и С. М. Попова^[5]; в данной заметке сделана попытка рассмотреть ту же задачу и в постановке Шенли — Работнова — Пфлюгера. Для простоты вычислений мы ограничиваемся случаем, когда можно предполагать пластические деформации перед потерей устойчивости малыми по сравнению с упругими, т. е. $\omega = 0$; материал пластинки будем считать несжимаемым, т. е. $\nu = 1/2$. Следует отметить, что эти ограничения не являются неизбежными; как вытекает из работы^[6], поставленную задачу можно решать и при $\omega \neq 0$ или при $\nu \neq 1/2$.

Переходя к решению задачи, выбираем оси координат, как и в работах^[4,5]; тогда

$$X_x^* = -1, \quad X_y^* = Y_y^* = 0, \quad x_1 = x_1(x), \quad x_2 = x_3 = 0$$

По условию задачи всякое поперечное сечение пластинки плоскостью $y = \text{const}$ остается плоским и после потери устойчивости, поэтому имеем $\epsilon_2 = \text{const}$.

Так как $\delta S = 0$, то из уравнения равновесия $\partial \delta T_1 / \partial x + \partial \delta S / \partial y = 0$ следует, что $\delta T_1 = \text{const}$.

Основными уравнениями задачи являются следующие.

а) Уравнение устойчивости

$$\frac{d^2 \delta M_1}{dx^2} + T_1 \frac{d^2 w}{dx^2} = 0 \quad (1)$$

б) Соотношение, связывающее относительную толщину пластического слоя ζ с прогибом w и с вариациями усилий $\delta T_1, \delta T_2$:

$$1 - 2\zeta + \lambda \zeta^2 = \frac{2}{Eh^2} \left(\delta T_1 - \frac{1}{2} \delta T_2 \right) \frac{1}{x_1} \quad (2)$$

в) Условия для того, что вдоль оси y никаких сил приложено не было:

$$\int_{-1/2}^{+1/2} \delta T_2 dx = 0 \quad (3)$$

Вариации усилий $\delta T_1, \delta T_2$ и вариацию момента δM_1 , встречающиеся в формулах (1) — (3), определяем из следующих соотношений, полученных на основании теории

малых упруго-пластических деформаций:

$$\begin{aligned} \frac{1}{Eh} \delta T_1 &= \frac{4}{3} \left(\varepsilon_1 + \frac{1}{2} \varepsilon_2 \right) + \frac{h}{2} \lambda \zeta^2 \frac{d^2 w}{dx^2} \\ \frac{1}{Eh} \delta T_2 &= \frac{4}{3} \left(\varepsilon_2 + \frac{1}{2} \varepsilon_1 \right) \\ \frac{1}{D} \delta M_1 &= - \left[1 - \frac{3}{4} \lambda \zeta^2 (3 - 2\zeta) \right] \frac{d^2 w}{dx^2} \end{aligned} \quad (4)$$

Следуя С. М. Попову [5], переходим к безразмерным величинам:

$$\begin{aligned} v &= \frac{w}{h}, & \eta &= \frac{2x}{l}, & \varepsilon_2^* &= \frac{l^2}{4h^2} \varepsilon_2 \\ \alpha^2 &= - \frac{1}{D} T_1 l^2, & \alpha_0^2 &= - \frac{1}{D} T_{1c} l^2, & \gamma &= \frac{l^2}{4h^2} \frac{\delta T_1}{Eh} \end{aligned} \quad (5)$$

Здесь символом T_{1c} обозначено критическое значение усилия T_1 , при этом имеет место очевидное соотношение $T_1 = T_{1c} + T_1$, которое в безразмерных величинах имеет вид:

$$\alpha^2 = \alpha_0^2 - 36 \gamma \quad (6)$$

Исключая из уравнений (1) — (2) при помощи зависимости (4) величины δT_2 , ε_1 , δM_1 и переходя к безразмерным величинам (5), находим, что

$$\begin{aligned} \frac{d^2}{d\eta^2} \left\{ \left[1 - \frac{3}{4} \lambda \zeta^2 (3 - 2\zeta) \right] \frac{d^2 v}{d\eta^2} \right\} + \frac{\alpha^2}{4} \frac{d^2 v}{d\eta^2} &= 0 \\ 2 \left(1 - 2\zeta + \frac{3}{4} \lambda \zeta^2 \right) \frac{d^2 v}{d\eta^2} &= 3\gamma - 2\varepsilon_2^* \end{aligned} \quad (7)$$

Интегрируя первое уравнение из (7) два раза по η и введя обозначения

$$f(\zeta) = \frac{4 - 3\lambda\zeta^2(3 - 2\zeta)}{4 - 8\zeta + 3\lambda\zeta^2}, \quad \vartheta(\zeta) = \frac{1}{4 - 8\zeta + 3\lambda\zeta^2} \quad (8)$$

окончательно получим

$$\alpha^2 v = C - 2(3\gamma - 2\varepsilon_2^*) f(\zeta), \quad \frac{d^2 v}{d\eta^2} = 2\vartheta(\zeta)(3\gamma - 2\varepsilon_2^*) \quad (9)$$

Докажем, что вся пластинка не может деформироваться упруго-пластически. Действительно, из уравнений (9) с учетом граничных условий $v = 0$, $d^2 v / d\eta^2 = 0$ при $\eta = 1$ явствует, что $C = 3\gamma - 2\varepsilon_2^* = 0$; следовательно, $v \equiv 0$ и выпученная форма пластинки невозможна. Отсюда и приходим к выводу, что области чисто-пластических деформаций должны возникнуть по крайней мере вблизи краев $\eta = \pm 1$.

Поставим теперь вопрос о том, может ли пластинка в целом деформироваться чисто-пластически. В случае чисто-пластических деформаций имеют место соотношения

$$\frac{1}{Eh} (\delta T_1 - \frac{1}{2} \delta T_2) = (1 - \lambda) \varepsilon_1, \quad \frac{1}{Eh} (\delta T_2 - \frac{1}{2} \delta T_1) = \varepsilon_2 + \frac{1}{2} \lambda \varepsilon_1$$

из которых вытекает, что

$$\frac{1}{Eh} \delta T_2 = \frac{8h^2}{l^2} \frac{2(1 - \lambda) \varepsilon_2^* + \gamma}{4 - 3\lambda} = \text{const} \quad (10)$$

следовательно, условие (3) может быть удовлетворено только при $\delta T_2 \equiv 0$. Учитывая соотношения (5) и (10), можем требование $\delta T_2 \equiv 0$ переписать еще в виде

$$\gamma = -2(1 - \lambda) \varepsilon_2^* \quad (11)$$

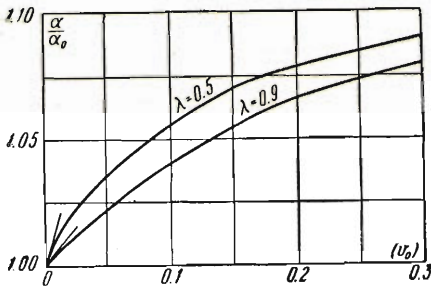
Из условия (11) следует, что чисто-пластические деформации в пластинке могут возникать только в двух следующих случаях:

а) если материал пластинки не обладает упрочнением; тогда $\lambda = 1$ и из (11) явствует, что $\gamma = 0$; следовательно, внешняя нагрузка не может превышать ее критическое значение и разница между концевыми Энгессера — Кармана и Шенли, Работнова и Пфлюгера отпадает (этот случай рассмотрен автором [6]).

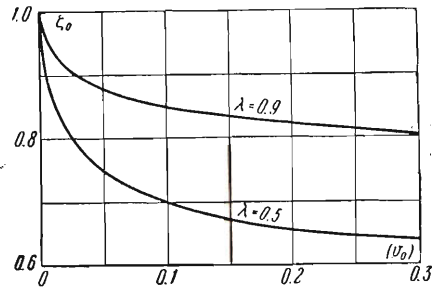
б) в случае, когда $\lambda \neq 1$, $\varepsilon_2^* = 0$; тогда в силу (6) и (11) имеем $\gamma = 0$, $\alpha = \alpha_0$. Нетрудно показать, что $v \equiv 0$. Последнее условие не противоречит основному предположению концепции Шенли — Работнова — Пфлюгера, по которой потеря устойчивости происходит при чисто-пластических деформациях. Величину критического значения параметра нагрузки α_0 можно в этом случае вычислить из формулы

$$\alpha_0 = \frac{\pi}{2} \sqrt{4 - 3\lambda} \quad (12)$$

Во всех остальных случаях чисто-пластическое состояние пластинки потерянной устойчивости невозможно и области чисто-пластических деформаций могут от края



Фиг. 1



Фиг. 2

пластинки $\eta = 1$ протянуться только до некоторого значения координаты $\eta = \eta_0$, при котором $\zeta = 1$. На границе упруго-пластической и чисто-пластической областей $\eta = \eta_0$ должны быть выполнены условия непрерывности для прогибов, углов наклона касательных плоскостей, изгибающих моментов и перерезывающих сил.

Приступаем к решению системы уравнений (9). Так как все дальнейшие вычисления почти не отличаются от соответствующих вычислений, проведенных С. М. Поповым в работе [5], то для того чтобы не пускаться в повторения, дадим здесь только оковательные результаты. Решая систему уравнений (9) при условии (3) и удовлетворяя условиям непрерывности в точке $\eta = \eta_0$, приходим к следующим соотношениям (символами ζ_0 и v_0 обозначены величины относительной толщины пластического слоя и относительного прогиба в центре пластинки):

$$\alpha \eta_0 = (4 - 3\lambda) A(\zeta_0, 1) - 8J_1(\zeta_0) + 6\lambda J_2(\zeta_0) \quad (13)$$

$$\alpha(1 - \eta_0) = \sqrt{4 - 3\lambda} \operatorname{arc} \cot [V\sqrt{4 - 3\lambda} A(\zeta_0, 1)]$$

$$\varepsilon_2^* = \frac{[\alpha + 6\lambda(J_1 - J_2)]\gamma}{2[\lambda(J_1 - J_2)\alpha(1 - \lambda)]}, \quad |v_0| = \frac{2}{\alpha^2} (3\gamma - 2\varepsilon_2^*) f(\zeta_0)$$

В этих формулах символами A , J_1 , J_2 обозначены выражения

$$A(\zeta_0, \zeta) = \sqrt{\Phi(\zeta_0) - \Phi(\zeta)}$$

$$\Phi(\zeta) = 2 \int \vartheta(\zeta) f'(\zeta) d\zeta = \frac{16 - 48\zeta + 48\zeta^2 - 12\lambda\zeta^3}{(4 - 8\zeta + 3\lambda\zeta^2)^2} \quad (14)$$

$$J_1(\zeta_0) = \int_{\zeta_0}^1 A(\zeta_0, \zeta) d\zeta, \quad J_2(\zeta_0) = \int_{\zeta_0}^1 \zeta A(\zeta_0, \zeta) d\zeta$$

Для решения поставленной задачи нужно найти зависимость параметра нагрузки α от величины относительного прогиба v_0 . При этом необходимые вычисления целесообразно провести в следующем порядке: придаем для величины ζ_0 некоторое значение и из двух первых уравнений системы (13) определяем величины α и η_0 ; вычисляя величину γ из формулы (6), определим из двух последних уравнений системы

(13) величины ϵ_2^* и $|v_0|$. Результаты вычисления при значениях $\lambda = 0.5$ и $\lambda = 0.9$ даны в виде графиков на фиг. 1—3. Для сравнения можно еще добавить, что вычисления, проведенные С. М. Поповым [5] на основании концепции Энгессера — Кармана, дали при $\lambda = 0.5$ значения $\alpha / \alpha_0 = 1.18$, $\zeta_0 = 0.575$, $\eta_0 = 0.965$, но если исходить из приближенной теории, созданной А. А. Ильишиным в [4], то получаем, что при $\lambda = 0.5$ значения $\alpha / \alpha_0 = 1.11$, $\zeta_0 = 0.586$, а при $\lambda = 0.9$ значения $\alpha / \alpha_0 = 1.14$, $\zeta_0 = 0.760$.

При составлении графиков ($|v_0|$, α / α_0) полезно узнать и величину наклона касательной вблизи критической точки $\alpha = \alpha_0$. Для этого опять исходим из системы (13) и про дифференцируем все зависимости по ζ_0 ; переходя к пределу $\zeta_0 \rightarrow 1$, в результате находим

$$\left[\frac{d(\alpha / \alpha_0)}{d|v_0|} \right]_{\zeta_0=1} = \frac{9(1-\lambda)}{4-3\lambda} \quad (15)$$

Из полученной формулы следует, что наклон касательной к кривым ($|v_0|$, α / α_0) при всех значениях λ положителен; с возрастанием величины λ наклон касательной постепенно уменьшается и при значении $\lambda = 1$ обращается в нуль.

Рассмотрим, наконец, еще случай

$$\zeta_0 \rightarrow \zeta_1 = \frac{4}{3\lambda} \left(1 - \sqrt{1 - \frac{3}{4}\lambda} \right)$$

В этом случае

$$4 - 8\zeta + 3\lambda\zeta^2 \rightarrow 0, \quad A(\zeta_0, 1) \rightarrow \infty$$

и, как следует из зависимости (13),

$$\eta_0 \rightarrow 1, \quad |v_0| \rightarrow \infty.$$

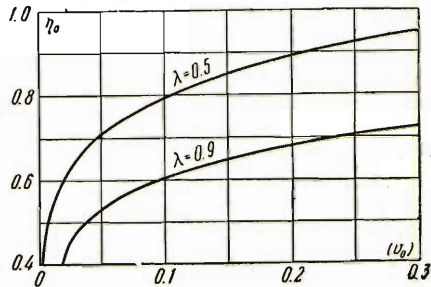
Очевидно, такое беспредельное возрастание прогиба $|v_0|$ не имеет реального смысла: кроме того, отметим: 1) полученные в этой работе формулы выведены в предположении, что прогибы пластинок являются малыми величинами; 2) как следует из работы Я. Г. Пановко [7], с возрастанием прогибов в пластинке появляются зоны вторичных пластических деформаций, вследствие чего сопротивление пластинки к изгибу резко понижается.

Поступила 1 XI 1955

Тартуский государственный университет

ЛИТЕРАТУРА

1. Shanley F. Inelastic Column Theory. Journal of Aeronautical Sciences, V. 14, Nr. 5, 1947.
2. Работнов Ю. Н. О равновесии сжатых стержней за пределом пропорциональности. Инженерный сборник, том XI, 1952.
3. Pflüger A. Zur plastischen Knickung gerader Stäbe. Ingenieur — Archiv, Band XX, Heft 5, 1952.
4. Ильишин А. А. Пластичность. Гостехиздат, 1948.
5. Попов С. М. О цилиндрической форме потери устойчивости пластинок за пределом упругости. ПММ, Том XIV, вып. 5, 1950.
6. Лепик Ю. Р. Дополнительные замечания о цилиндрической форме потери устойчивости пластинок за пределом упругости. ПММ, Том XV, вып. 1, 1951.
7. Пановко Я. Г. О критической силе сжатого стержня в неупругой области. Инженерный сборник, т. 20, 1954.



Фиг. 3